

基础研究

CD44在新生隐球菌体外感染血脑屏障中对单核细胞迁移的影响

张立科¹, 邱嘉文¹, 梁晓路², 黄宝怡², 李妍¹, 杜蕾¹, 龙敏¹, 罗军¹, 黄胜和³, 曹虹¹南方医科大学¹公共卫生与热带医学学院//广东省热带病研究重点实验室, 微生物学系, ²第一临床医学院, 广东 广州 510515; ³美国南加州大学洛杉矶儿童医院, 洛杉矶 90027

摘要:目的 新生隐球菌(*Cryptococcus neoformans*, Cn)荚膜主要毒力因子透明质酸由CPS1基因编码,能与宿主细胞受体CD44结合介导真菌侵袭。本文目的明确CD44分子在Cn体外感染血脑屏障模型中对单核细胞黏附内皮细胞(HBMEC)并迁移穿越血脑屏障的影响。方法 用单层HBMEC铺贴小槽构建体外血脑屏障模型,利用Cn野生株B4500FO2、CPS1基因缺失株TYCC645³²和CPS1基因回补株PCIP,分别感染模型中的HBMEC,然后在上槽液中加入人白血病单核细胞(THP-1),计数从上槽液中迁移到下槽液中的单核细胞数量,观察Cn感染与单核细胞迁移时间和剂量关系;用抗CD44单克隆抗体和CD44抑制剂Bikunin分别作用于模型中单层HBMEC,通过趋化实验检查抗CD44单克隆抗体和Bikunin对Cn感染模型中单核细胞迁移的抑制效应。结果 黏附和趋化实验结果显示,Cn感染HBMEC后,相比PBS对照组,THP-1黏附率和趋化效应均明显增加($P<0.01$),且黏附率和迁移率随Cn感染量和感染时间的增加而显著上升($P<0.05$)。通过抗CD44单克隆抗体和CD44阻断剂Bikunin分别作用于Cn感染后的HBMEC,结果发现THP-1黏附率和迁移率均显著降低($P<0.01$),且在一定范围内分别随抗体(0~1 μg)和抑制剂(0~20 nmol/L)剂量的增加而减低。不同Cn菌株荚膜透明质酸的表达差异对THP-1细胞黏附和迁移有一定影响:与野生株相比,TYCC645³²感染组的THP-1黏附率和迁移率均明显降低($P<0.01$, $P<0.05$),而回补株PCIP的THP-1黏附率和迁移率有所增加。结论 体外血脑屏障模型中人脑微血管细胞表达CD44分子可能对单核细胞黏附内皮细胞和迁移通过血脑屏障起重要作用;荚膜透明质酸能介导Cn诱导的单核细胞黏附和迁移。

关键词:新生隐球菌;CD44;单核细胞;血脑屏障;迁移

Role of CD44 in monocyte transmigration across *Cryptococcus neoformans*-infected blood-brain barrier *in vitro*ZHANG Like¹, QIU Jiawen¹, LIANG Xiaolu², HUANG Baoyi², LI Yan¹, DU Lei¹, LONG Min¹, LUO Jun¹, HUANG Shenghe³, CAO Hong¹¹Department of Microbiology, Guangdong Provincial Key Laboratory of Tropical Disease Research, School of Public Health and Tropical Medicine, ²First School of Clinical Medicine, Southern Medical University, Guangzhou 510515, China; ³Saban Research Institute, Children's Hospital Los Angeles, Los Angeles, CA 90027, USA

Abstract: Objective To explore the role of CD44 in monocyte adhesion to human brain microvascular endothelial cells (HBMECs) and monocyte migration across an *in vitro* model of blood-brain barrier (BBB) infected by *Cryptococcus neoformans* (Cn). **Methods** An *in vitro* blood-brain barrier model was constructed using a transwell chamber covered with a HBMEC monolayer. The wild-type strain of Cn B4500FO2, TYCC645³² strain with CPS1 gene deletion and PCIP strain with CPS1 complementation were chosen to infect the monolayer HBMECs. THP-1 cells were added to the upper chamber of transwell, and the relative migration rate was determined by counting the number of the cells entering the lower chambers. The inhibitory effects of anti-CD44 monoclonal antibody and the CD44 inhibitor bikunin were examined on THP-1 binding to and migration across HBMECs. **Results** Cn infection of the HBMECs caused markedly enhanced THP-1 cell adhesion and migration across the monolayers ($P<0.01$) dependent on Cn concentration and exposure time. Addition of anti-CD44 monoclonal antibody and bikunin significantly lowered THP-1 adhesion and migration rates in the BBB model with Cn-infected HBMECs ($P<0.01$) with a dose dependence of the antibody (within 0-1 μg) and inhibitor (within 0-20 nmol/L). Both THP-1 adhesion rate and migration rate were lowered in the BBB model infected with CPS1 gene-deleted Cn but increased in the model infected with the complemented strain compared with those in the wild-type strain-infected model. **Conclusion** In the *in vitro* BBB model, CD44 expressed on HBMECs may play an essential role in monocyte adhesion to and migration across the BBB. The capsular hyaluronic acid may mediate Cn-induced monocyte adhesion and migration.

Key words: *Cryptococcus neoformans*; CD44; monocytes; blood-brain barrier; transmigration

收稿日期:2014-12-28

基金项目:国家自然科学基金(81171644);2013年度广东省级大学生创新创业训练计划项目(1212113033)

Supported by National Natural Science Foundation of China (81171644).

作者简介:张立科,在读硕士研究生,电话:020-62789123, E-mail: zlk8289@qq.com

通信作者:曹虹,博士,教授,博士生导师,电话:020-61648307, E-mail: gzhcao@smu.edu.cn

新生隐球菌(*Cryptococcus neoformans*, Cn)是一种具有多糖荚膜的嗜中枢神经系统的病原真菌,能引起隐球菌脑膜炎,死亡率极高。新生隐球菌CPS1基因编码真菌透明质酸合成酶,能合成荚膜成分透明质酸(hyaluronic, HA),后者与Cn黏附侵袭脑微血管内皮细胞(brain microvascular endothelial cells, BMEC)密切

相关^[1-2]。同时HA也是哺乳动物细胞基质的主要成分,在白细胞和内皮细胞中广泛存在。

我们研究发现CD44是Cn HA在BMEC表面的主要受体^[3-5],当细胞膜脂筏上的CD44与真菌荚膜HA结合后会引起宿主细胞骨架蛋白改变和CD44在细胞膜表面的再聚集^[6-9]。尿胰蛋白酶抑制剂Bikunin可以通过BMEC膜蛋白Bik-R与CD44偶联,从而阻断CD44信号通路^[10-11]。Cn通过肺部入血后,可扩散至脑组织和脑膜。有研究表明Cn与单核细胞共孵育后,侵袭能力明显增强^[12]。尽管对于Cn如何穿越血脑屏障和引起神经系统损伤的机制目前仍有许多不明之处,但是CD44作为黏附分子在白细胞与内皮细胞的相互作用中扮演关键角色^[13-14],表明HA-CD44信号通路参与了Cn穿越血脑屏障和白细胞渗出迁移的过程。

趋化迁移实验是一种研究Cn感染时,单核细胞与脑微血管内皮细胞相互作用和运动的很好的实验方法和手段。实验装置是一种有特定孔径的杯状的膜滤器,将脑微血管内皮细胞铺于膜上以模拟血脑屏障。这种实验手段经常被用于共培养、细胞趋化、细胞迁移、细胞侵袭等多方面的研究^[15-17]。本研究将利用构建的体外BMEC模型模拟血脑屏障,研究人脑微血管内皮细胞受到Cn刺激后引起的人急性单核细胞白血病细胞(human acute monocytic leukemia, THP-1)趋化迁移变化,并分析CD44在其中的作用。

1 材料与方法

1.1 菌株及细胞

新生隐球菌B4500FO₂、敲除CPSI基因的突变株TYCC645#32及回补株PCIP由本室保存,30℃培养在YPD肉汤中。收集对数期细胞,PBS洗2次,用血球计数板计数,调整菌液浓度10⁸/ml重悬于含5% FBS的Hams-F12/M199培养基中备用。人脑微血管细胞(HBMEC)购于Sciencell公司,人白血病单核粒细胞(THP-1)购于上海中科院细胞库,37℃、5% CO₂培养在含10% FBS的1640培养基中。

1.2 主要试剂和器材

抗CD44单抗购自Santa Cruz公司;尿胰蛋白酶Bikunin购自北京鼎国昌盛生物技术有限公司;细胞膜荧光染料(PKH26 Red)购自Sigma公司;趋化小槽Millicell 12 μm购自Millipore公司;24、96孔板购自Corning公司;跨上皮细胞电阻测定仪(Millicell-Electrical Resistance System)为Millipore公司产品。

1.3 THP-1 荧光染色

室温下用无血清1640培养基清洗THP-1细胞1次,加入浓度为4×10⁻⁶ mol/ml PKH26染料中,放置2~5 min,轻摇混匀,保证充分混合,加入等量血清,终止染

色反应,再放置1 min,离心去上清,1640培养基洗3次备用。

1.4 THP-1 黏附分析

将HBMEC调整浓度至5×10⁵/ml,200 μl/孔铺于96孔板,37℃、5% CO₂培养12 h。与不同菌株作用后,每孔加入PKH26染过色的浓度为2×10⁶/ml的THP-1细胞200 μl,相同条件下孵育1 h后1640培养基清洗细胞3次,然后可在荧光显微镜下拍照计数,每个孔随机3个视野,实验重复3次,使用方差分析统计数据(ANOVA)。为观察不同剂量Cn B4500FO₂刺激HBMEC对THP-1黏附率的影响,在加入THP-1之前,先分别加入200 μl以Hams-F12/M199培养基稀释的对数生长期、浓度为0、10⁶、5×10⁶和5×10⁷ cfu/ml的B4500FO₂株,37℃、5% CO₂分别与HBMEC孵育,3 h后去除Cn,然后再添加THP-1孵育;为分析THP-1黏附HBMEC随Cn刺激时间变化的关系,同样方法,每孔加入5×10⁶ cfu/ml浓度的Cn B4500FO₂ 200 μl,分别于1、2、6 h后去除Cn并冲洗细胞,再加入THP-1黏附HBMEC。

为观察Bikunin和anti-CD44单抗与HBMEC表达的CD44分子互作及B4500FO₂刺激下的THP-1黏附率,以无血清1640培养基稀释Bikunin为0.1、1、5、20 nmol/L,并设PBS对照组,在Cn孵育HBMEC 3 h后冲洗培养板,Bikunin随THP-1一起加入96孔板孵育1 h;另一96孔板中各浓度组anti-CD44单抗加入量分别为每孔10、100、500、1000 ng。

分别使用浓度为5×10⁶ cfu/ml的CPSI基因敲除株TYCC645#32、回补株CPIP和野生株B4500FO₂刺激HBMEC,并设空白对照组,观察HA表达差异的不同菌株对THP-1迁移的作用。

1.5 构建体外血脑屏障模型

12 μm膜孔径的趋化小槽Millicell对应24孔板使用,将培养5 d的HBMEC胰酶消化,调整浓度至2×10⁵/ml,加400 μl至上槽中,再加600 μl含10% FBS的1640培养基至下槽中,37℃、5% CO₂培养3~5 d,适时更换培养基。从第3天起用跨上皮细胞电阻测定仪测量跨膜电阻,当TEER值在200~300 Ω·cm²之间时可用来做趋化实验。

1.6 THP-1 迁移分析

与黏附实验一样,用不同的菌株孵育趋化小槽中的HBMEC 3 h后,轻柔冲洗小槽3次,在上槽内加入含2×10⁶个THP-1细胞的含10% FBS的1640培养基共400 μl,同时下槽液更换600 μl含10% FBS的1640培养基,让THP-1在小槽内做趋化运动后,在特定时间点取下槽液至血球计数板计数迁移至下槽液的THP-1细胞数,每孔重复3次,使用方差分析统计数据^[20](ANOVA)。将实验后趋化小槽半透膜揭下,细胞刮板

刮除上表面细胞,然后95%酒精固定过夜,0.1%结晶紫染色20 min,自来水漂洗2 min,显微镜拍摄整个半透膜^[21]。

1.7 统计学处理

所有实验至少重复3次,以均数±标准差表示数据,方差分析并以 t 检验或球对称检验来确定对照组和实验组之间差异。 $P<0.05$ 表明有统计学意义。

2 结果

2.1 Cn B4500FO₂刺激 HBMEC 后对 THP-1 黏附迁移的影响

THP-1的黏附与作用于HBMEC的Cn剂量呈正相关性,同时随Cn作用的时间延长而黏附率增加(图1和图2)。以PBS作为空白对照组孵育HBMEC 1 h后的THP-1黏附率作为基数100%,Cn剂量在 10^6 cfu/ml时黏附率相比是基数的136%,这时Cn与HBMEC细胞数量比约为2:1;当Cn剂量提高到 5×10^7 cfu/ml时,THP-1黏附率就提高到基数197%,这时的Cn细胞数约是HBMEC的100倍。Cn作用于HBMEC的时间长短对THP-1黏附内皮细胞的影响更大,在1 h时只是基数的165%,而到6 h后,黏附率大幅提高到了320%。

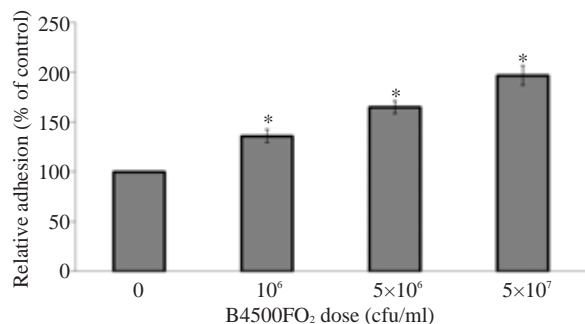


图1 Cn剂量对THP-1黏附HBMEC的影响

Fig.1 Dose-dependent induction of adhesion of THP-1 to HBMEC infected with different concentrations of Cn. Results are expressed as relative THP-1 adhesion compared with the PBS control (100%). Error bars indicate standard deviations. $*P<0.01$ vs PBS control group.

野生株Cn B4500FO₂刺激HBMEC后明显增强了THP-1的趋化迁移(图1~4)。实验表明,在Cn感染体外模型中的HBMEC时间(3 h)和THP-1加入小槽中迁移时间(3 h)都确定的情况下,Cn的剂量越大对THP-1迁移率的促进作用越强,相对于空白对照组20.8%的迁移率, 10^6 cfu/ml时,迁移率28.875%; 5×10^7 cfu/ml时,比没有Cn感染的情况下迁移率提高了75%还多。当Cn浓度为 5×10^7 cfu/ml,与HBMEC作用时间为3 h,随THP-1在上槽液中时间延长,THP-1迁移率也相应提高。

2.2 Bikunin 和 anti-CD44 对在 B4500FO₂ 刺激 HBMEC 下的 THP-1 黏附迁移的作用

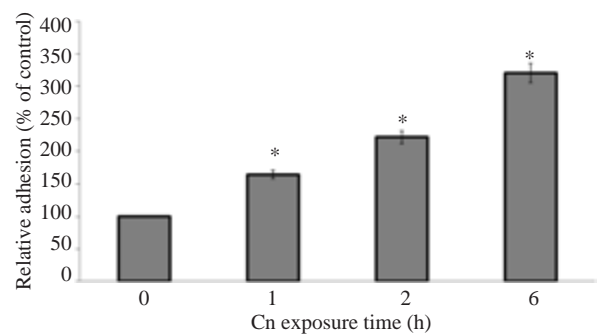


图2 Cn刺激时间对THP-1黏附HBMEC的影响

Fig.2 Effect of Cn exposure time on adhesion THP-1 to HBMECs. Equivalent amount of wild strain B4500FO₂ (5×10^6 cfu/ml) were incubated with HBMEC monolayer for 1, 2 and 6 h. Results are expressed as relative THP-1 adhesion compared with the PBS control (100%). $*P<0.01$ vs PBS control group.

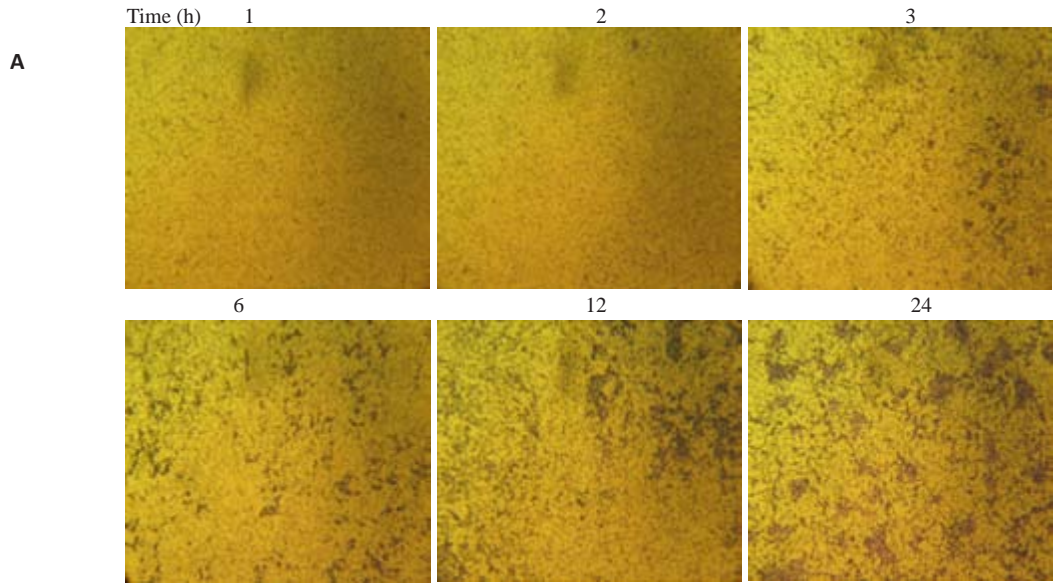
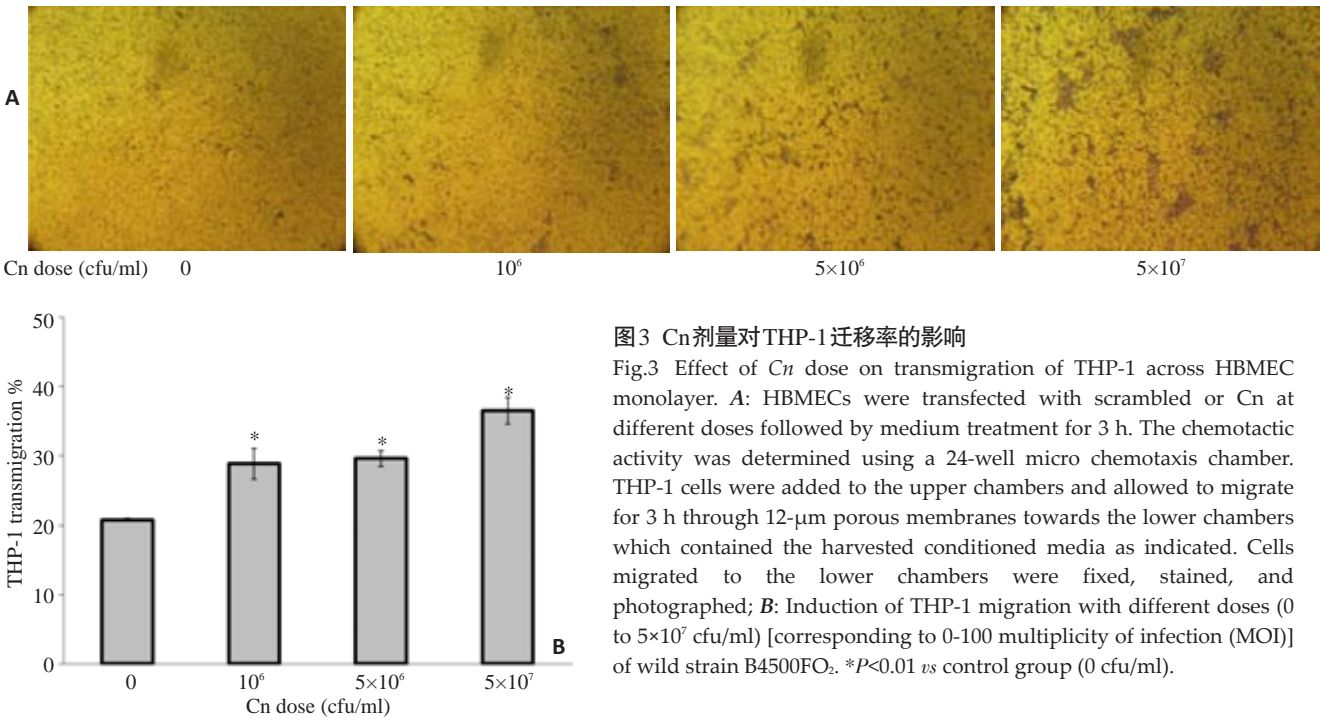
结果表明在 5×10^7 cfu/ml B4500FO₂感染HBMEC 3 h后,使用CD44抑制剂Bikunin或anti-CD44单克隆抗体孵育感染后的内皮细胞,都可以明显降低THP-1的黏附迁移作用(图5、6),与只有Cn感染而不使用抗CD44药物的对照组相比,Bikunin和anti-CD44剂量越大,THP-1黏附率和迁移率就越低,使用抗CD44药物的最大剂量组的黏附率不及对照组的1/3,迁移率相比对照组降低了超过54%。

2.3 CPSI 基因敲除株和回补株 Cn 对模型中 THP-1 黏附迁移的影响

CPSI基因是Cn编码荚膜透明质酸HA合成酶的基因,敲除CPSI基因的TYCC645[#]32株,荚膜中不含HA,以Cn TYCC645[#]32(5×10^6 cfu/ml)和回补株PCIP(5×10^6 cfu/ml)分别感染HBMEC 3 h,野生株黏附率明显高于敲除株,而回补株相比敲除株黏附率有明显回升(图7);迁移实验中,上槽液中加入400 μ l浓度为 5×10^6 /ml的THP-1,于3 h后计数下槽液中THP-1的迁移率,与PBS空白对照组比较THP-1的迁移率,Cn B4500FO₂(5×10^6 cfu/ml)组最高(图8),与野生株组相比,敲除株TYCC645[#]32组则明显要低,但是回补株迁移率相比敲除株回升并不明显。

3 讨论

单核细胞迁移浸润是发生新生隐球菌脑膜炎时免疫系统抗抵抗感染的防御反应,Cn可以激活感染部位的内皮细胞产生趋化因子和促炎细胞因子^[18],并引起脑微血管内皮细胞表面黏附分子表达改变,从而影响白细胞的招募和黏附迁移。为了明确Cn感染HBMEC后单核细胞通过血脑屏障的情况,我们通过黏附实验和迁移趋化实验,证明THP-1黏附率和迁移率随刺激HBMEC的Cn量的增加和刺激时间的延长而上升。HBMEC表达的PECAM-1(CD31)、E-Selectin和CD44等多种黏



附分子参与其与白细胞的黏附作用,并且影响到白细胞通过血脑屏障的过程^[19]。前期研究证实,Cn荚膜HA能

够结合HBMEC表面的CD44,并引起宿主细胞的CD44在细胞膜上再聚集。本研究证实Cn感染微血管内皮细

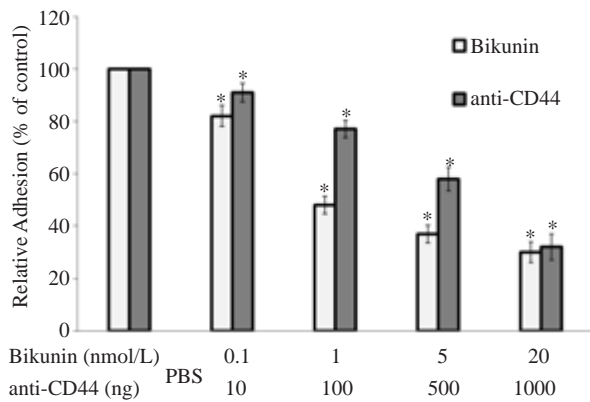


图5 Bikunin 和 anti-CD44 单克隆抗体剂量对 THP-1 黏附 HBMEC 的影响

Fig.5 THP-1 adhesion to HBMEC monolayers was blocked by Bikunin and anti-CD44 monoclonal antibody. Equivalent amount of wild strain B4500FO₂ (5×10^7 cfu/ml) were incubated with HBMEC monolayer for 3 h. HBMECs were then treated with different doses of bikunin and anti-CD44 monoclonal antibody, with the monolayers treated with Cn and PBS as the control. * $P < 0.01$ vs PBS control group.

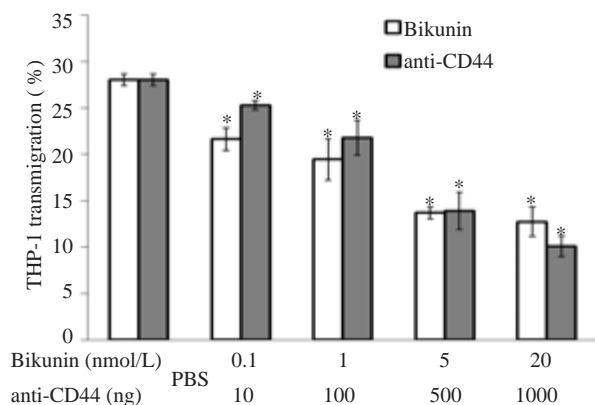


图6 Bikunin 和 anti-CD44 单克隆抗体剂量对 THP-1 迁移率的影响

Fig.6 Inhibition of THP-1 transmigration across HBMECs after preincubation with different doses of bikunin and anti-CD44 monoclonal antibody for 3 h. * $P < 0.01$ vs PBS control group.

胞可以加强 THP-1 与 HBMEC 的黏附并提高 THP-1 通过单层 HBMEC 的迁移率。

CD44 作为 HA 在 HBMEC 表面的主要受体, 可被 Bikunin 和 ant-CD44 单克隆抗体抑制, 实验结果显示, THP-1 的黏附迁移作用随抑制剂或抗体浓度的增加而降低, 可以证明 CD44 在 THP-1 黏附 Cn 刺激的 HBMEC 上起重要作用, 并对白细胞迁移有影响。

CPS1 基因敲除株 TYCC645#32 对比野生株 B4500FO₂, 刺激 HBMEC 后对 THP-1 的黏附和迁移影响明显较低, 而回补株 PCIP 则相对回升, 表明 Cn 荚膜 HA 对 THP-1 黏附迁移也有影响, 从而验证了作为 HA 受体的 CD44 在 THP-1 的黏附迁移中的重要作用。

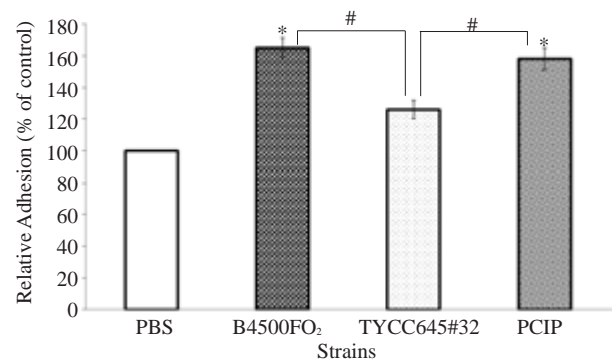


图7 HA 对 THP-1 黏附 Cn 感染的 HBMEC 的影响

Fig.7 Effect of HA on adhesion of THP-1 cells to HBMECs. Equivalent amount of wild strain B4500FO₂, mutant TYCC645#32 and complemented strain CPIP were incubated with HBMEC monolayers for 3 h. Results are expressed as relative THP-1 adhesion compared with the PBS control (100%). Error bars indicate standard deviations. * $P < 0.01$ vs PBS control group. # $P < 0.01$.

综上所述, 本研究首次证实新生隐球菌体外感染脑微血管内皮细胞可以诱导 THP-1 的黏附和迁移。前期研究中发现, Cn 荚膜 HA 刺激 HBMEC 后, 引起 CD44 表达的再分布, 使单核细胞更容易通过 HA 结合, 并激活引起细胞骨架和细胞形态的改变^[7], 从而使脑微血管内皮细胞之间的紧密连接发生改变, 这两点可能是本研究中影响 THP-1 通过单层 HBMEC 的关键因素, 说明 HBMEC 表达的 CD44 在单核细胞迁移通过血脑屏障中起重要作用。本研究表明新生隐球菌体外感染脑微血管内皮细胞诱导 THP-1 黏附和迁移的作用可能与 CD44 分子密切相关。CD44 抗体和 Bikunin, 尤其是后者作为 CD44 的抑制剂可以明显减少单核细胞的迁移率, 在减低炎症反应方面有一定应用前景。上述结果为新生隐球菌脑膜炎时 Cn 促进炎症发生发展的机制的相关研究提供启示, 为寻找有效防治中枢神经系统机会感染的新途径提供理论基础。

参考文献:

- [1] Yc C, Jong A, Huang S, et al. CPS1, a homolog of the Streptococcus pneumoniae type 3 polysaccharide synthase gene, is important for the pathobiology of Cryptococcus neoformans [J]. Infect Immun, 2006, 74(7): 3930-8.
- [2] Jong A, Wu CH, Chen HM, et al. Identification and characterization of CPS1 as a hyaluronic acid synthase contributing to the pathogenesis of Cryptococcus neoformans infection [J]. Eukaryot Cell, 2007, 6(8): 1486-96.
- [3] Jong A, Wu CH, Shackleford GM, et al. Involvement of human CD44 during Cryptococcus neoformans infection of brain microvascular endothelial cells [J]. Cell Microbiol, 2008, 10 (6): 1313-26.
- [4] Jong A, Wu CH, Gonzales-Gomez IA, et al. Hyaluronic acid receptor CD44 deficiency is associated with decreased

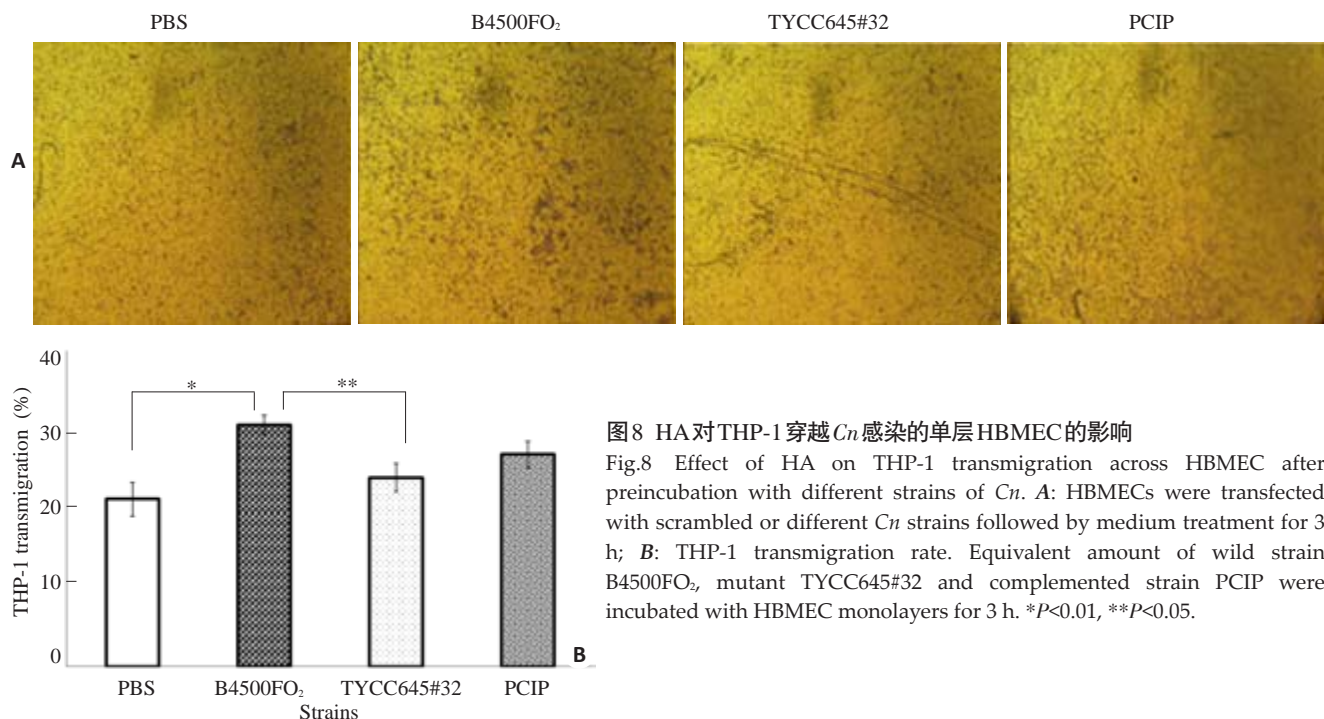


图8 HA对THP-1穿越Cn感染的单层HBMEC的影响

Fig.8 Effect of HA on THP-1 transmigration across HBMEC after preincubation with different strains of *Cn*. A: HBMECs were transfected with scrambled or different *Cn* strains followed by medium treatment for 3 h; B: THP-1 transmigration rate. Equivalent amount of wild strain B4500FO₂, mutant TYCC645#32 and complemented strain PCIP were incubated with HBMEC monolayers for 3 h. * $P < 0.01$, ** $P < 0.05$.

cryptococcus neoformans brain infection[J]. J Biol Chem, 2012, 287 (19): 15298-306.

[5] Goodison S, Urquidí V, Tarín D. CD44 cell adhesion molecules[J]. Mol Pathol, 1999, 52(4): 189-96.

[6] Neame SJ, Uff CR, Sheikh H, et al. CD44 exhibits a cell type dependent interaction with triton X-100 insoluble, lipid rich, plasma membrane domains[J]. J Cell Sci, 1995, 108(Pt 9): 3127-35.

[7] Long M, Huang SH, Wu CH, et al. Lipid raft/caveolae signaling is required for Cryptococcus neoformans invasion into human brain microvascular endothelial cells[J]. J Biomed Sci, 2012, 19(1): 19.

[8] Suzuki M, Kobayashi H, Fujie M, et al. Kunitz-type protease inhibitor bikunin disrupts phorbol ester-induced oligomerization of CD44 variant isoforms containing epitope v9 and subsequently suppresses expression of urokinase-type plasminogen activator in human chondrosarcoma cells [J]. J Biol Chem, 2002, 277 (10): 8022-32.

[9] Huang SH, Long M, Wu CH, et al. Invasion of cryptococcus neoformans into human brain microvascular endothelial cells is mediated through the lipid rafts-endocytic pathway via the dual specificity tyrosine phosphorylation-regulated kinase 3 (DYRK3) [J]. J Biol Chem, 2011, 286(40): 34761-9.

[10] Charlier C, Nielsen K, Daou S, et al. Evidence of a role for monocytes in dissemination and brain invasion by cryptococcus neoformans[J]. Infect Immun, 2009, 77(1): 120-7.

[11] Wakahara K, Kobayashi H, Yagyu T, et al. Bikunin down - regulates heterodimerization between CD44 and growth factor receptors and subsequently suppresses agonist - mediated signaling [J]. J Cell Biochem, 2005, 94(5): 995-1009.

[12] Hollenbaugh D, Mischel-Petty N, Edwards CP, et al. Expression of functional CD40 by vascular endothelial cells[J]. J Exp Med, 1995, 182(1): 33-40.

[13] Turley EA, Noble PW, Bourguignon L. Signaling properties of hyaluronan receptors[J]. J Biol Chem, 2002, 277(7): 4589-92.

[14] Humbert M, Ying S, Corrigan C, et al. Bronchial mucosal expression of the genes encoding chemokines RANTES and MCP-3 in symptomatic atopic and nonatopic asthmatics: Relationship to the eosinophil active cytokines interleukin (IL) -5, granulocyte macrophage-colony-stimulating factor, and IL-3 [J]. Am J Respir Cell Mol Biol, 1997, 16: 1-8.

[15] Sabiti W, May RC, Pursall ER. Experimental models of cryptococcosis [J]. Int J Microbiol, 2011, 2012: 626745.

[16] Steinmann U, Borkowski J, Wolburg H, et al. Transmigration of polymorphonuclear neutrophils and monocytes through the human blood-cerebrospinal fluid barrier after bacterial infection in vitro[J]. J Neuroinflamm, 2013, 10(1): 31.

[17] Srikanta D, Santiago - Tirado F H, Doering T L. Cryptococcus neoformans: historical curiosity to modern pathogen [J]. Yeast, 2014, 31(2): 47-60.

[18] 张 宇, 桑 晨, 庄逢源. 内皮细胞相关黏附分子的研究进展[J]. 细胞与分子免疫学杂志, 2009, 25(1): 89-91.

[19] Razakandrainibe R, Combes V, Grau GE. Crossing the wall: The opening of endothelial cell junctions during infectious diseases[J]. Int J Biochem Cell Biol, 2013, 45(7): 1165-73.

[20] Che X, Chi F, Wang L, et al. Involvement of IbeA in meningitic Escherichia coli K1-induced polymorphonuclear leukocyte transmigration across brain endothelial cells[J]. Brain Pathol, 2011, 21(4): 389-404.

[21] Lin CI, Chen CN, Lin PW, et al. Lysophosphatidic acid regulates inflammation-related genes in human endothelial cells through LPA1 and LPA3[J]. Biochem Biophys Res Commun, 2007, 363(4): 1001-8.

(编辑:黄开颜)